

Fig. 1

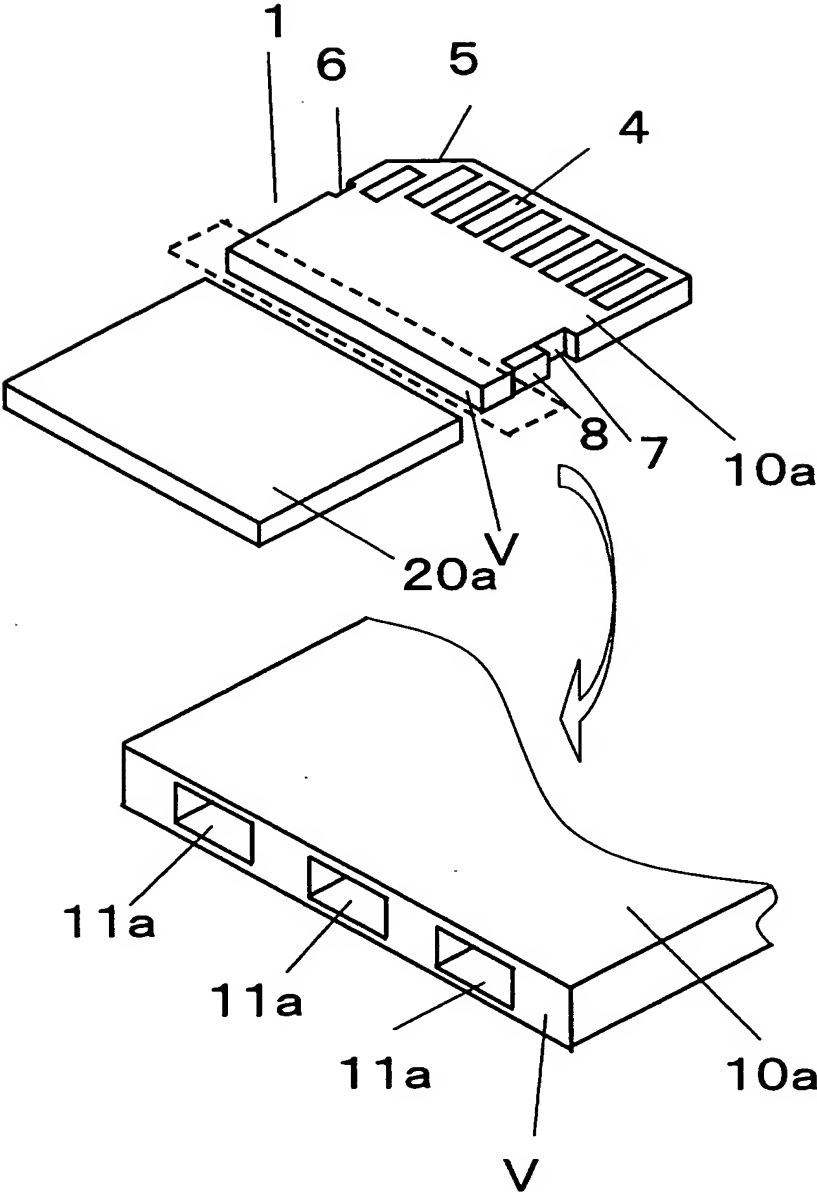


Fig. 2

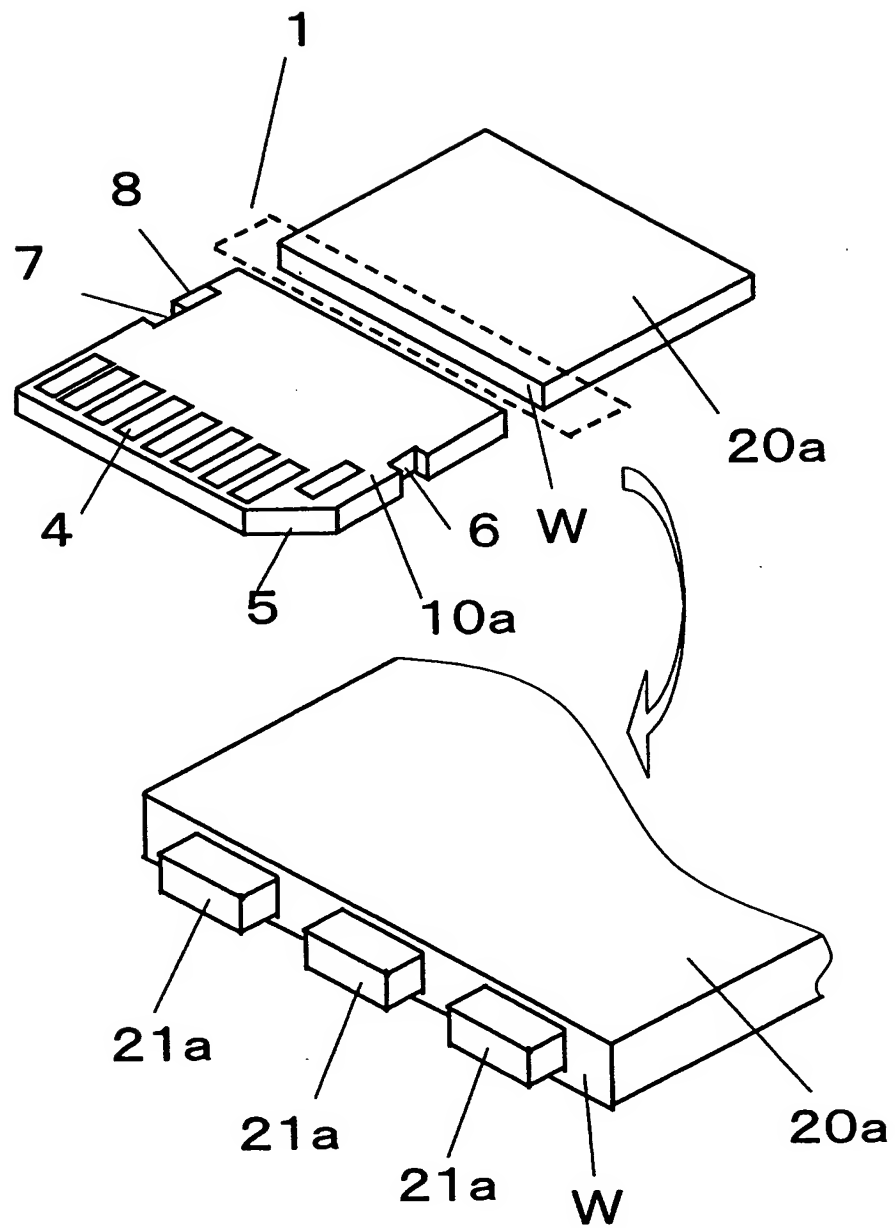


Fig. 3A

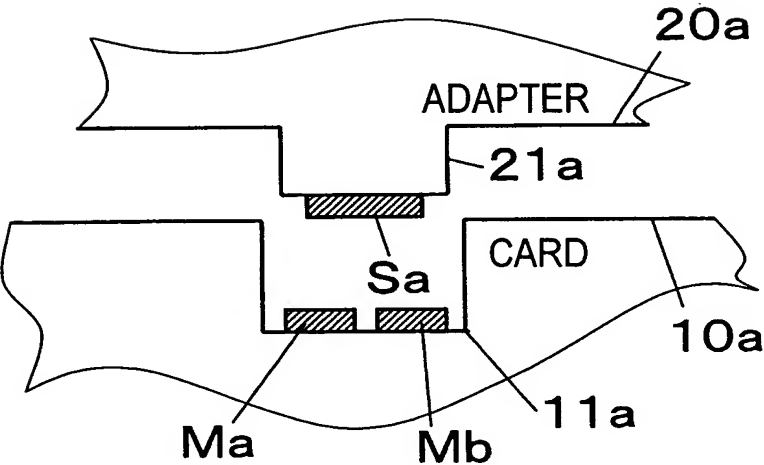


Fig. 3B

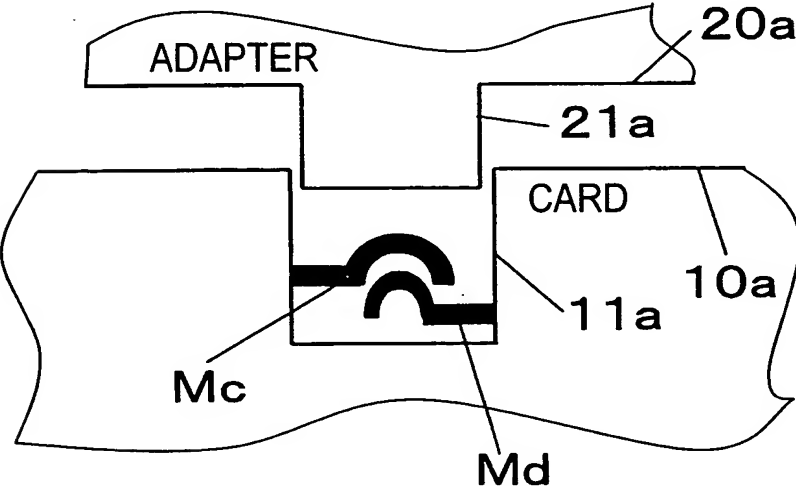
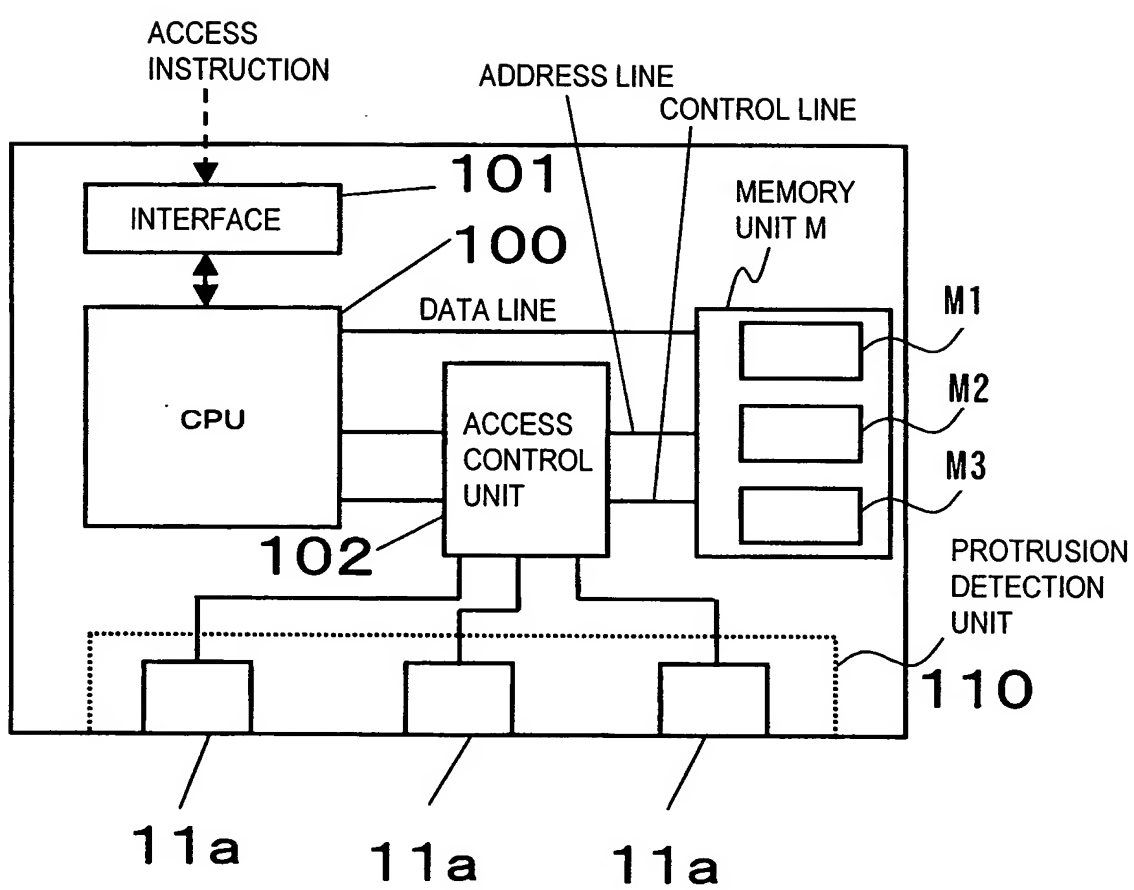


Fig. 4



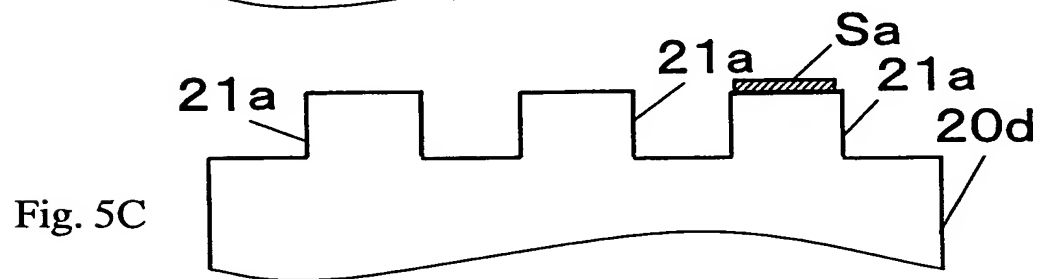
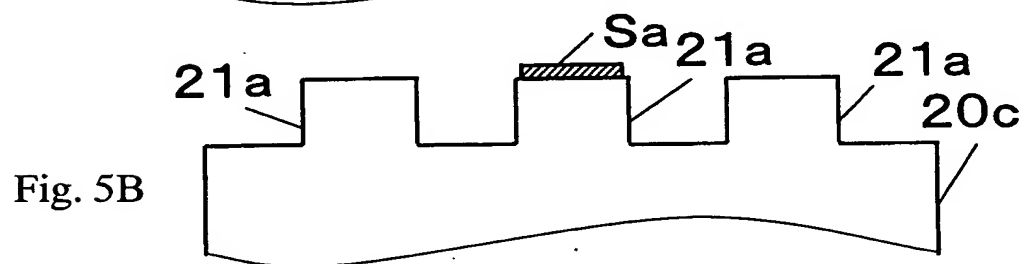
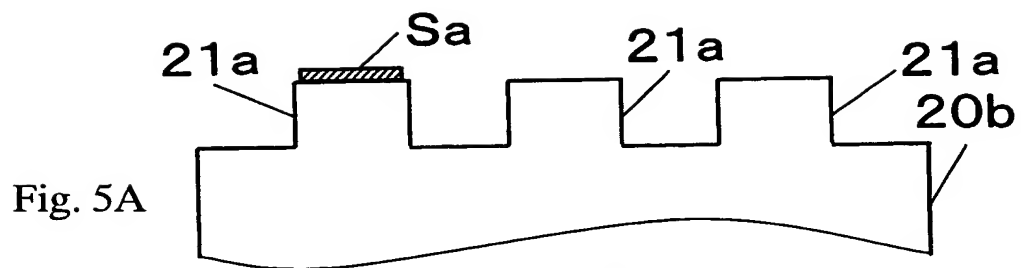


Fig. 6A

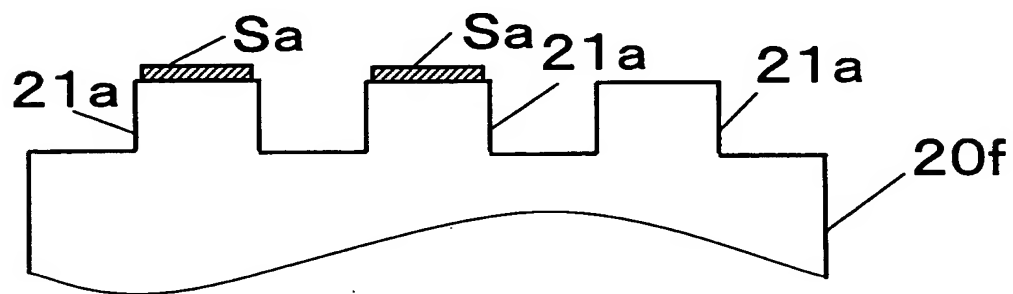
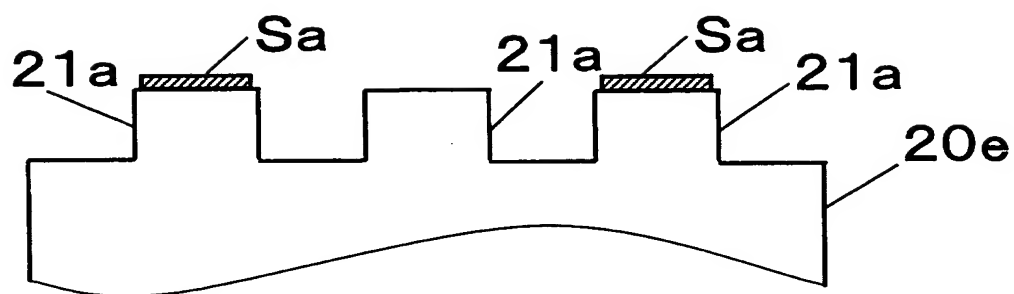


Fig. 6B

Fig. 7A

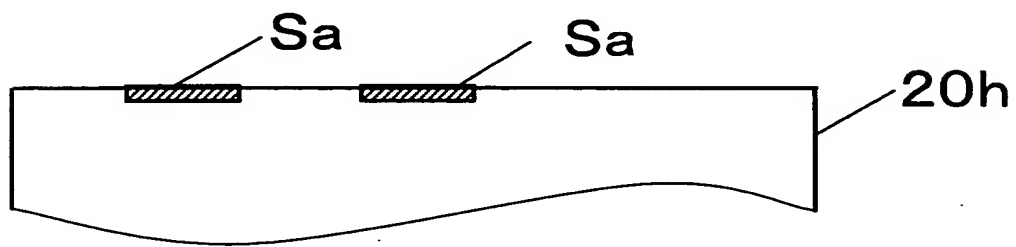
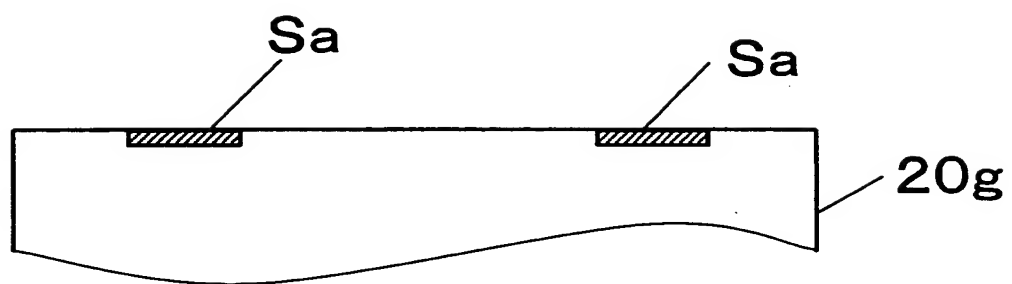
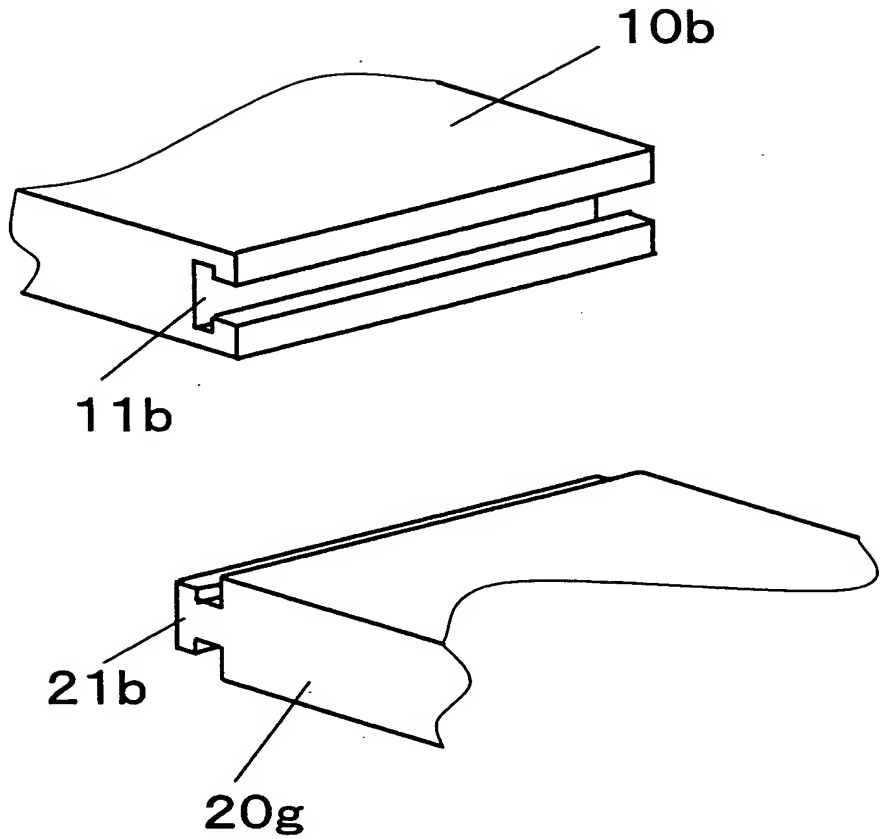
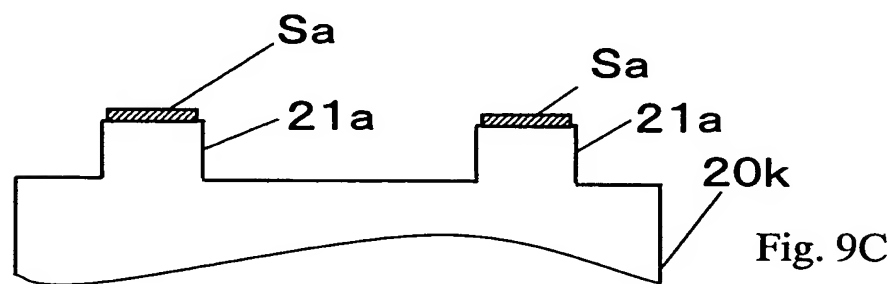
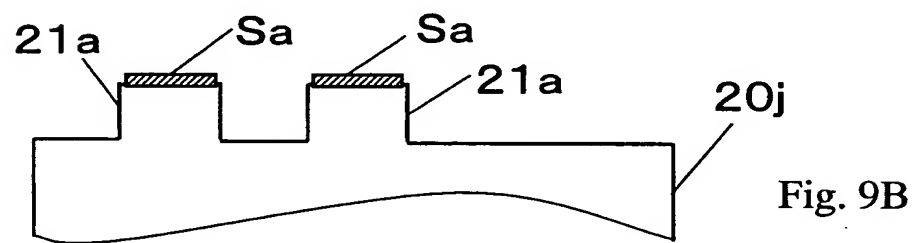
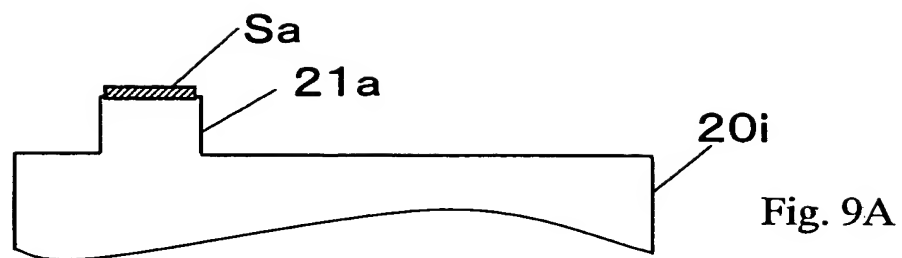


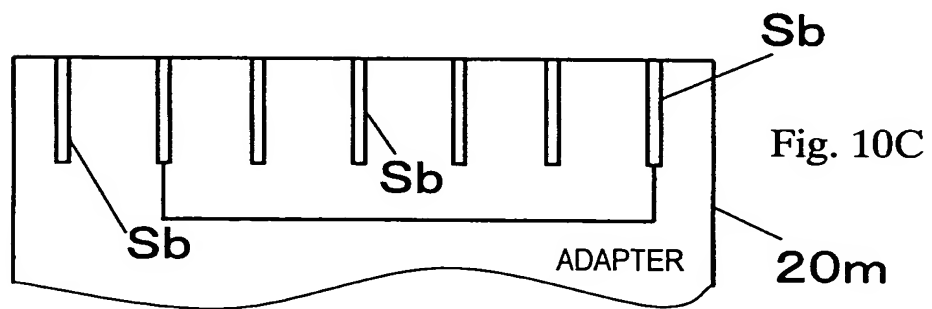
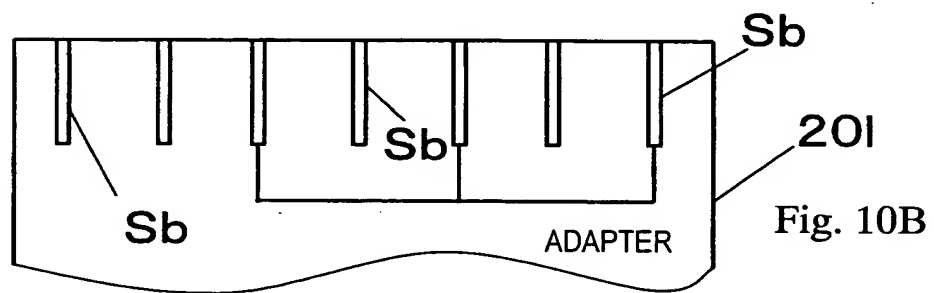
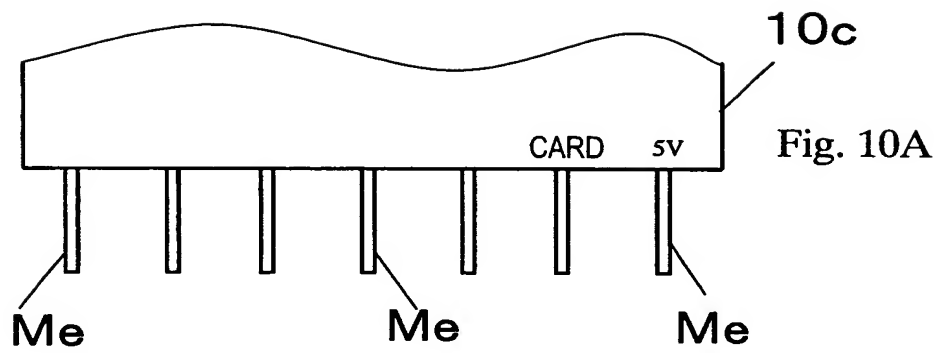
Fig. 7B

Fig. 8









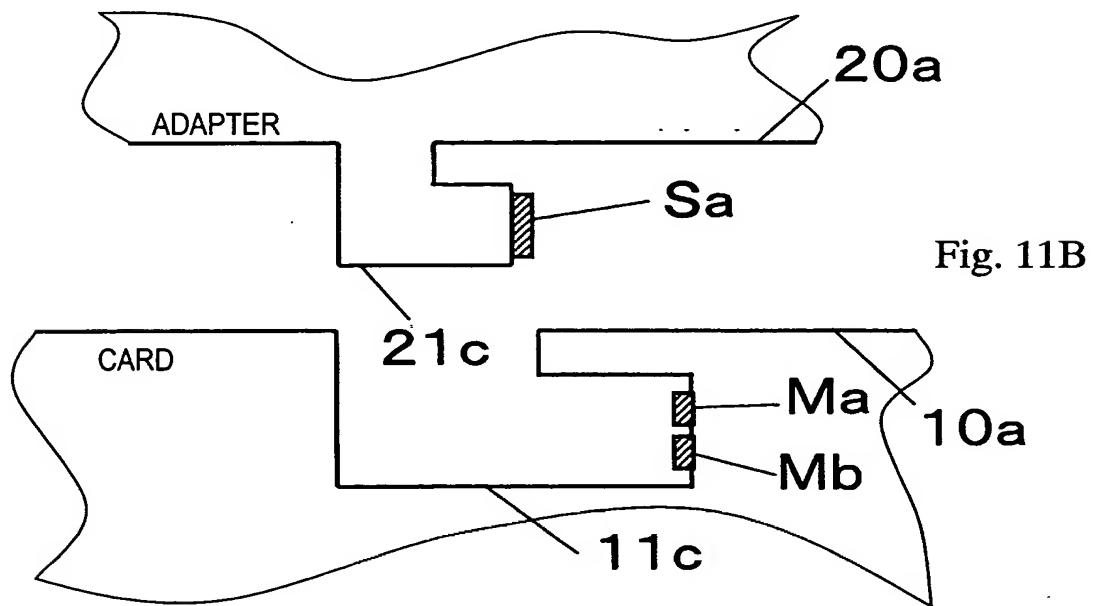
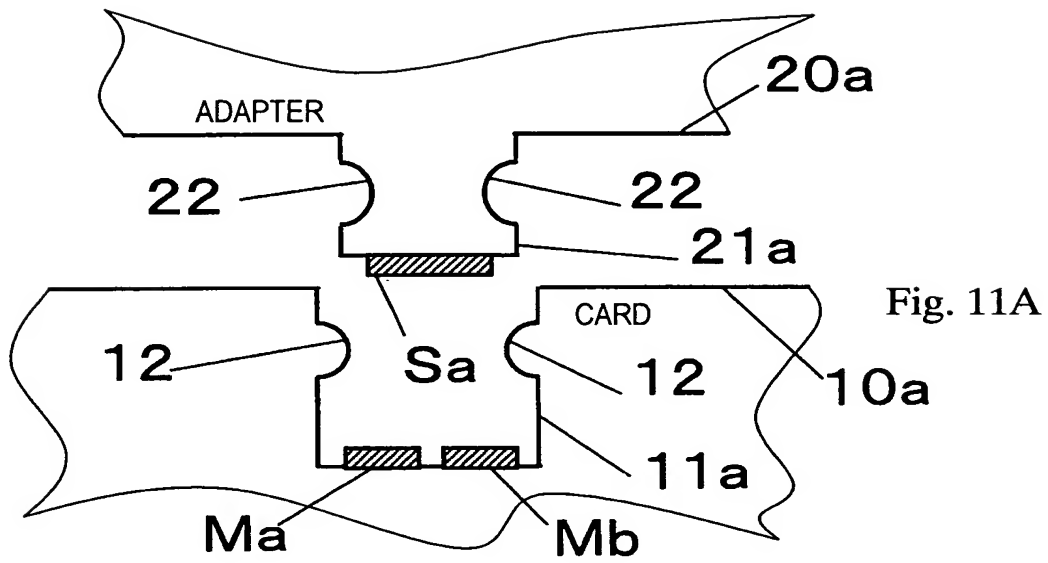


Fig. 12A

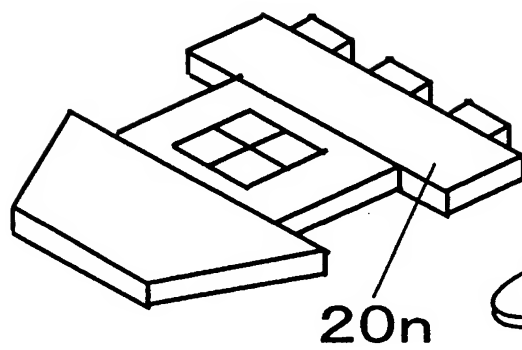


Fig. 12B

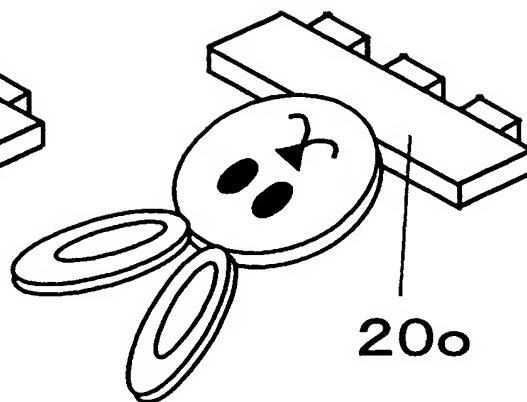


Fig. 12C

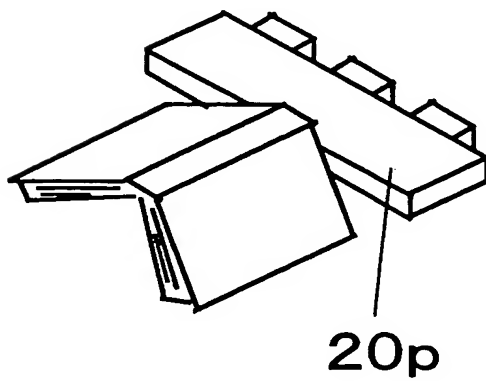


Fig. 12D

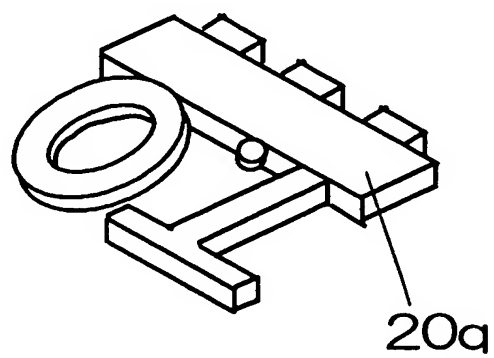


Fig. 13

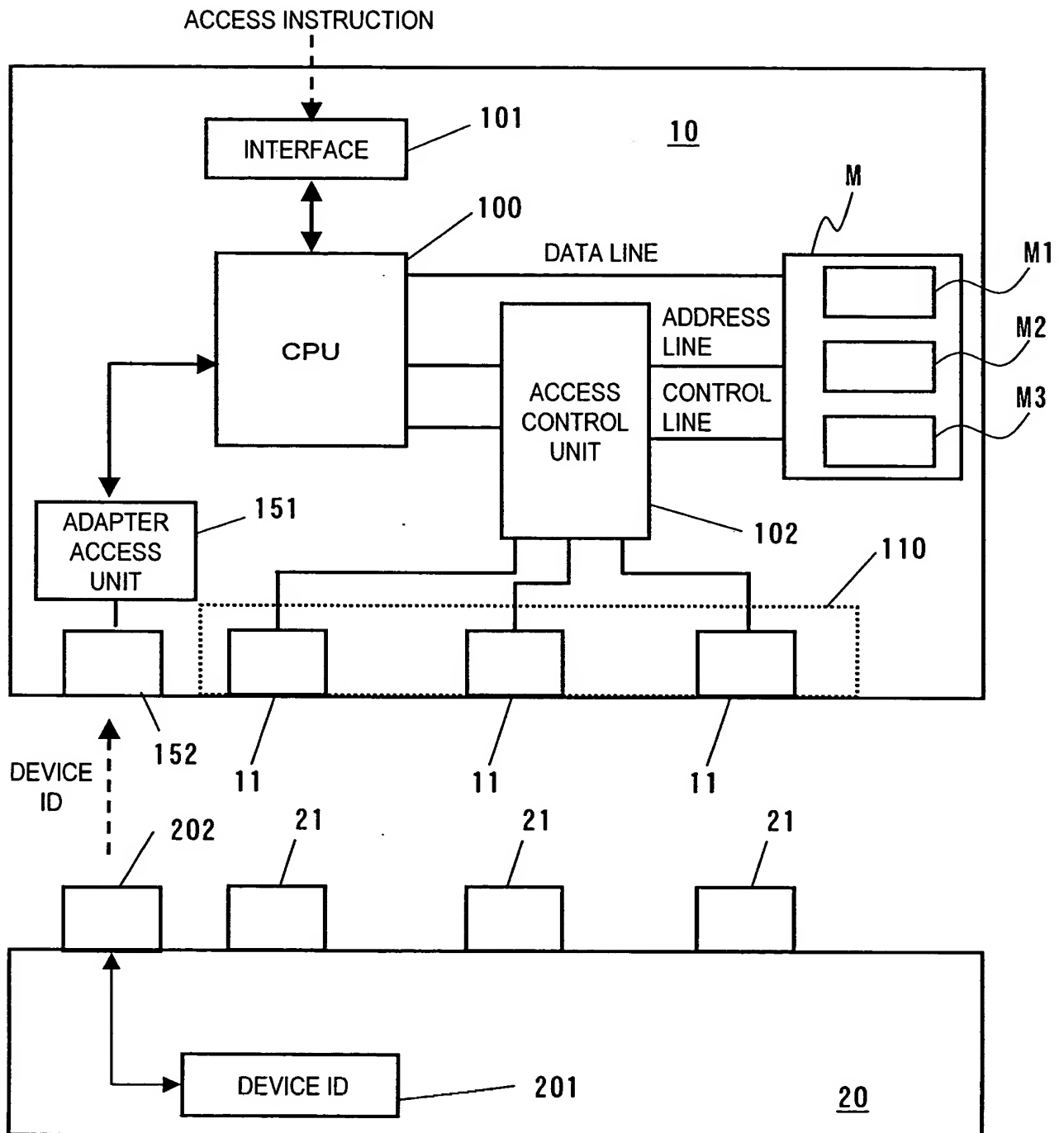


Fig. 14A

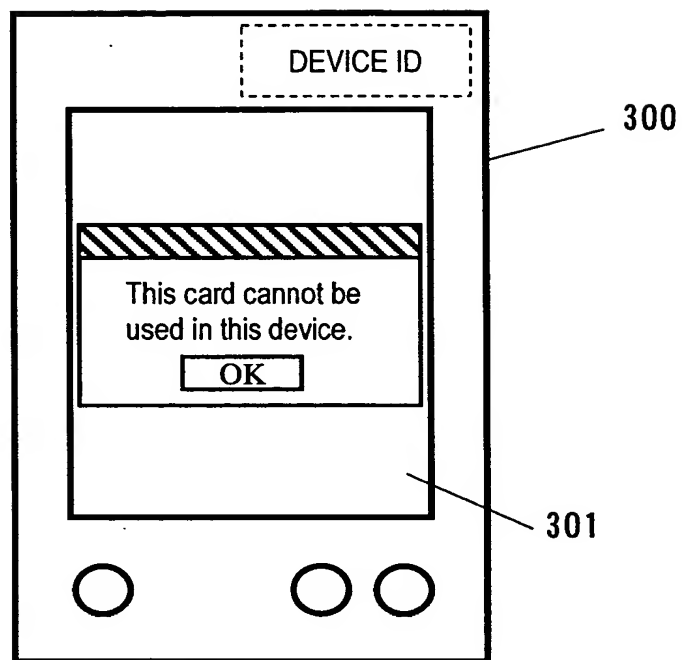


Fig. 14B

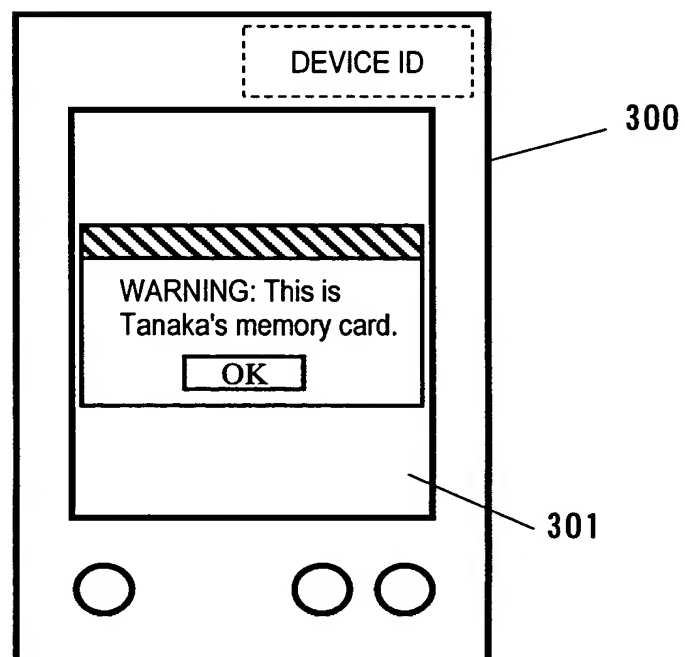


Fig. 15

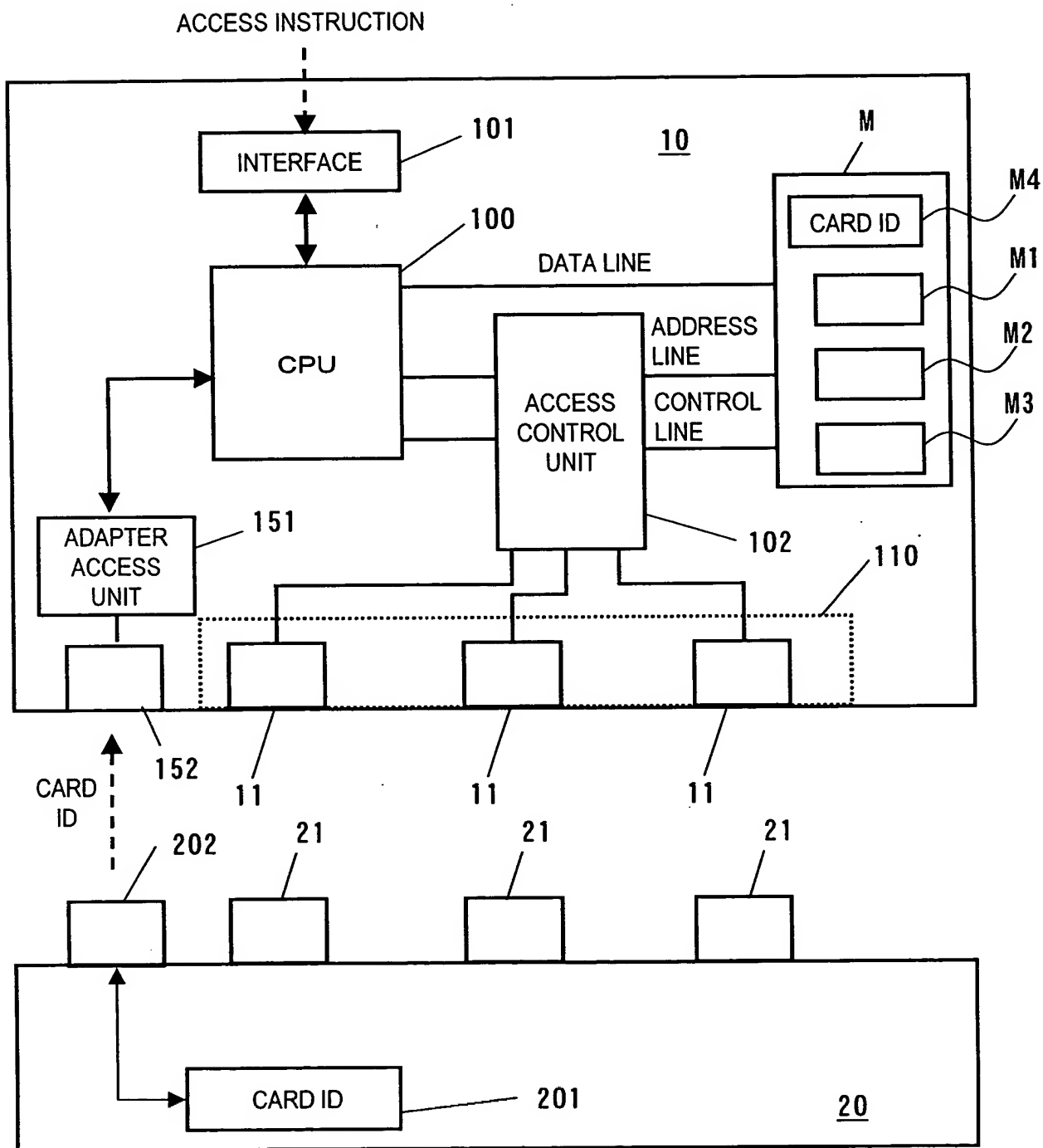


Fig. 16

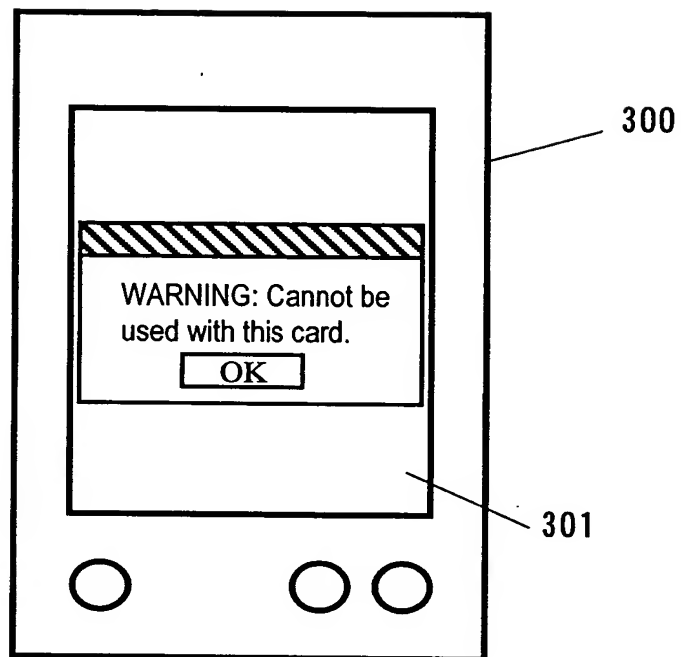




Fig. 17

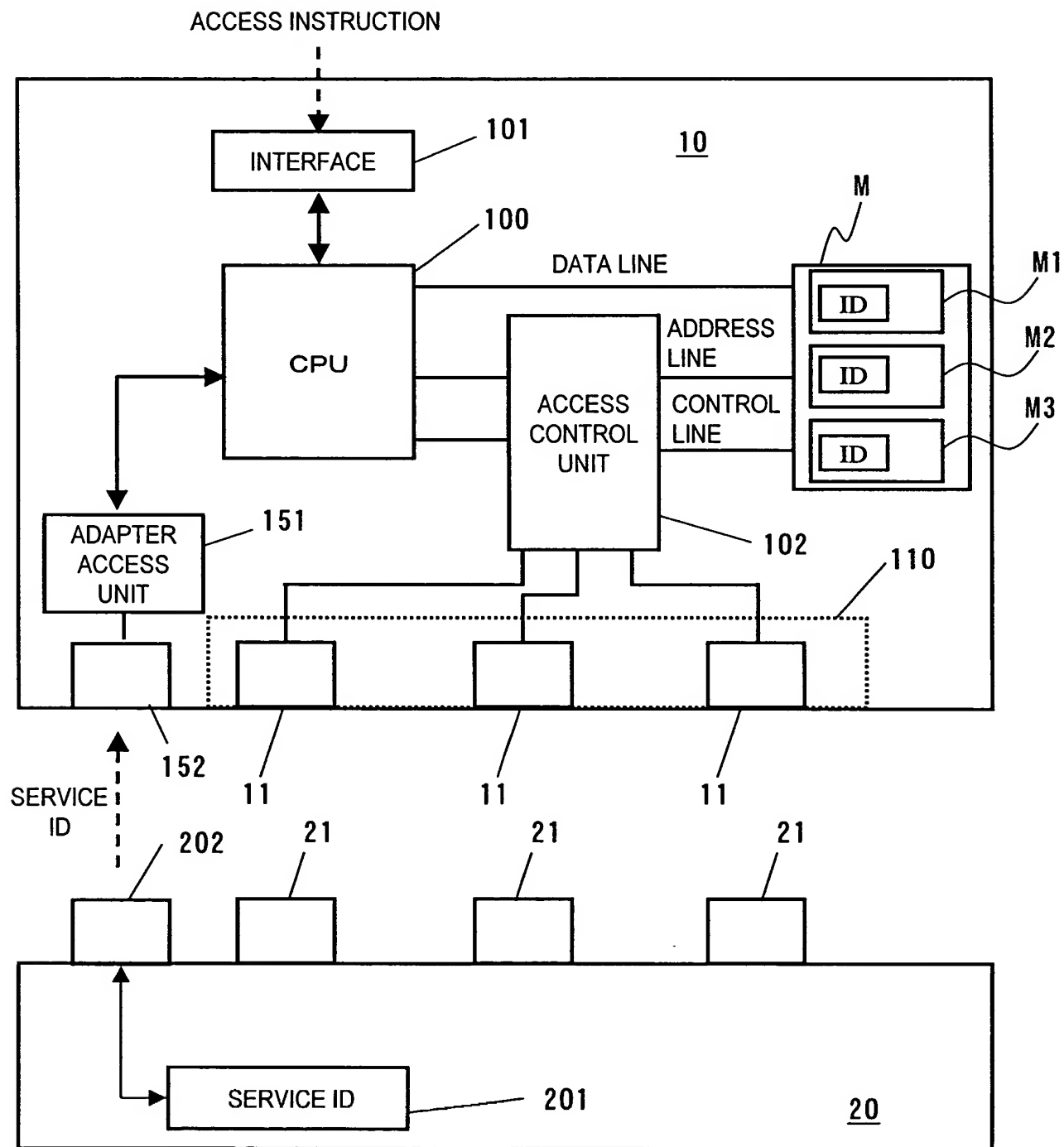


Fig. 18

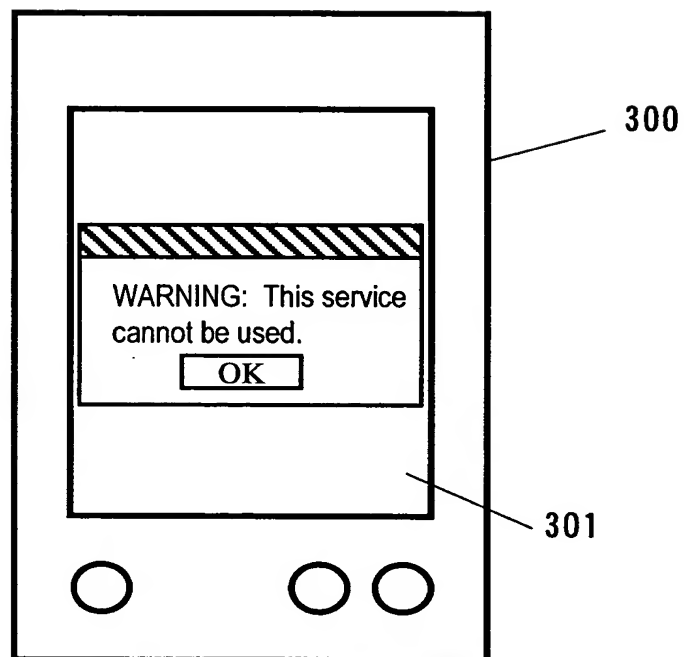


Fig. 19

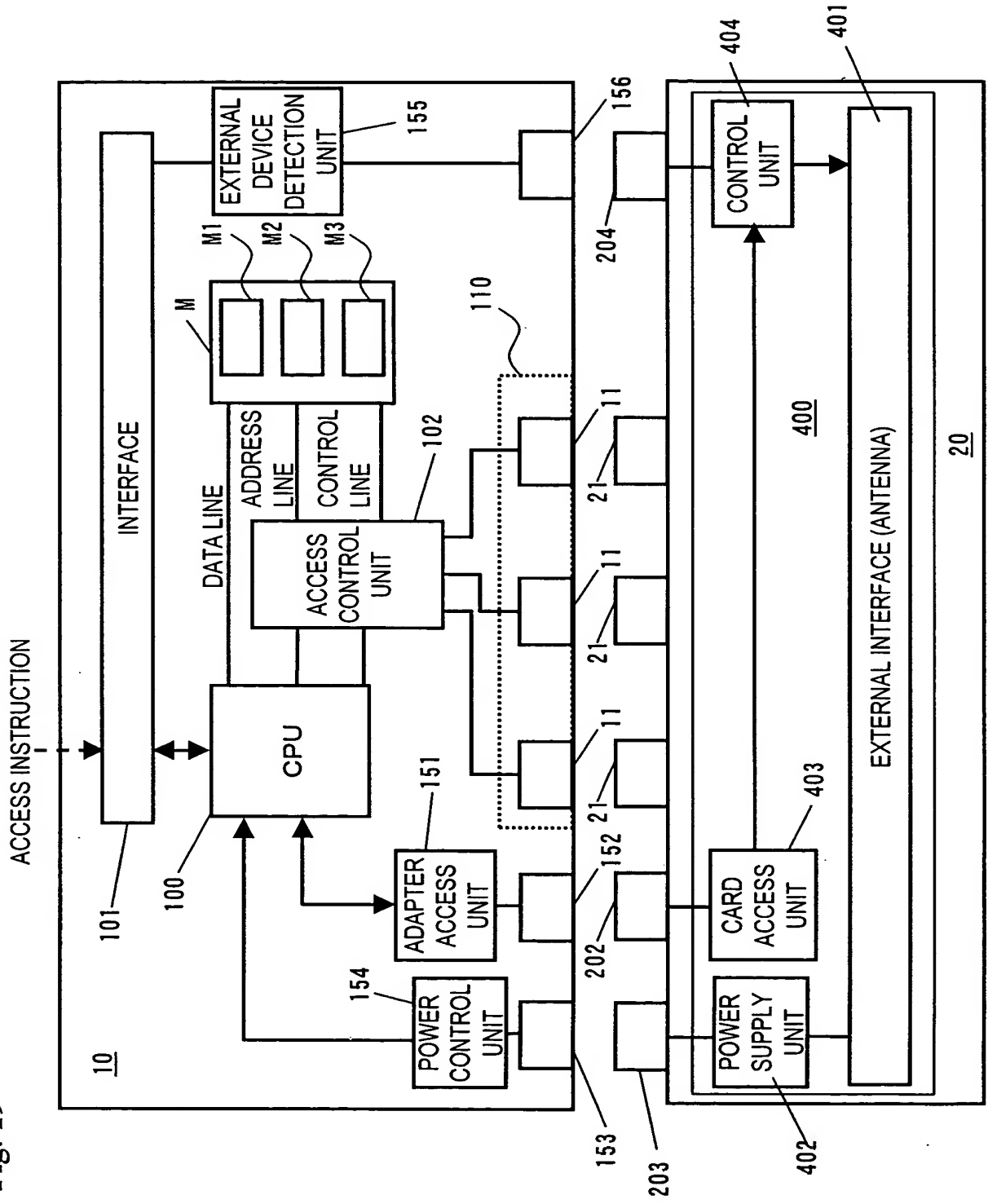


Fig. 20

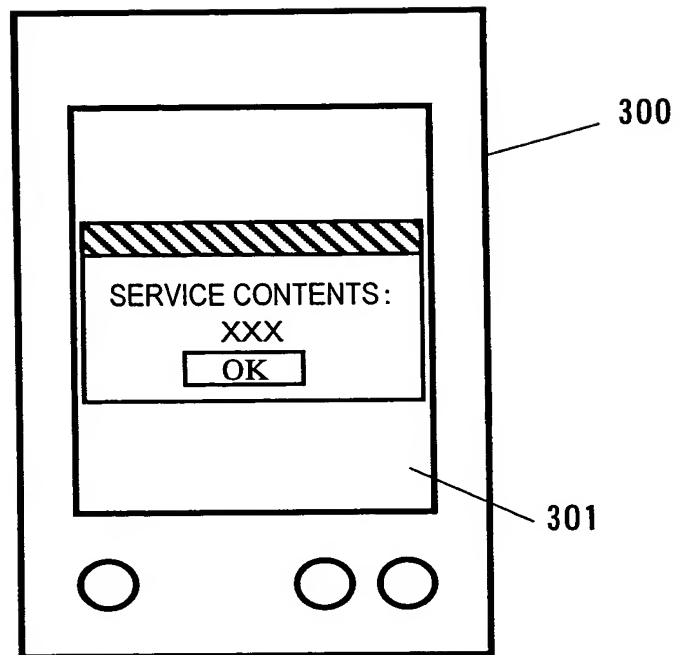


Fig. 21

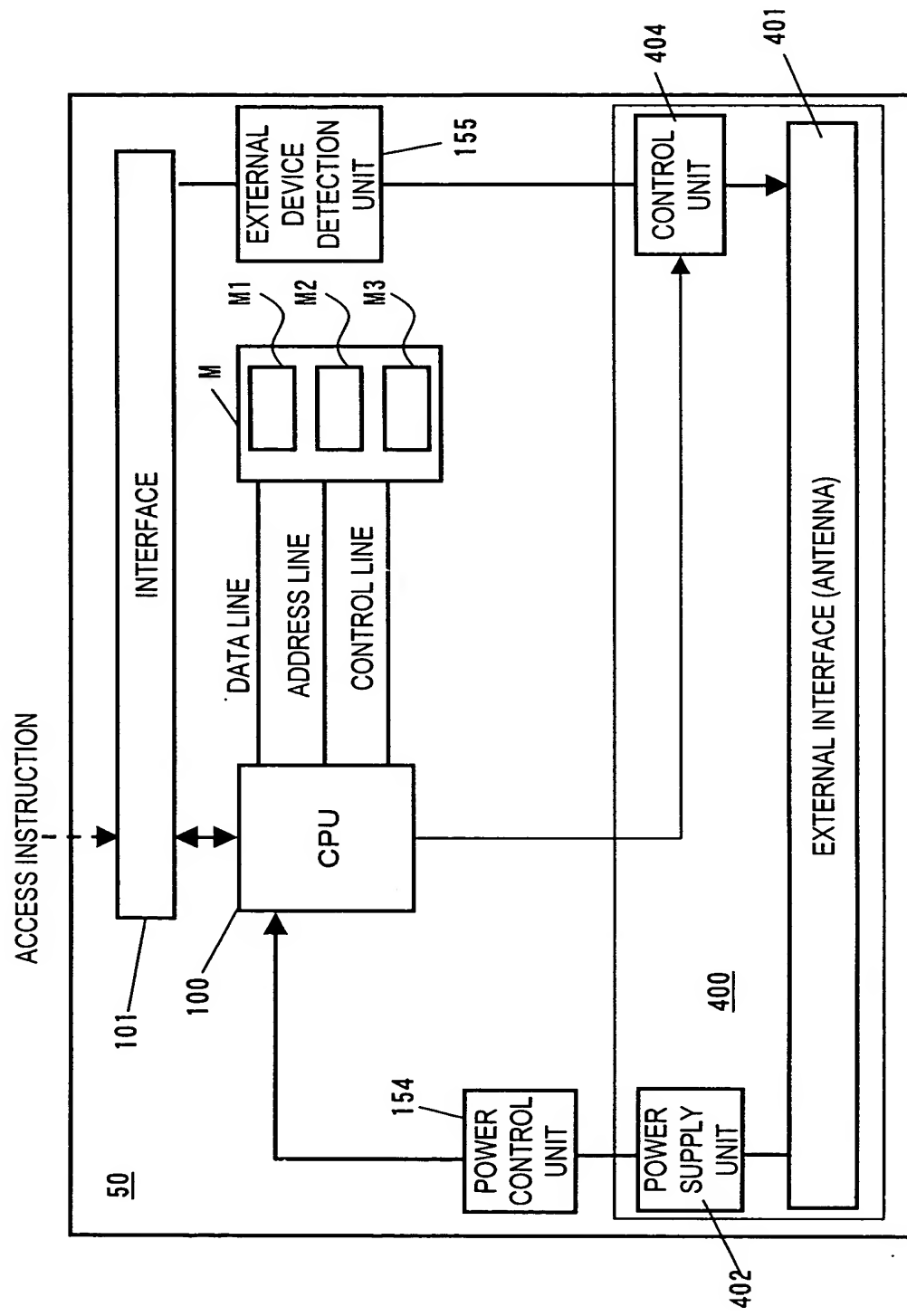


Fig. 22

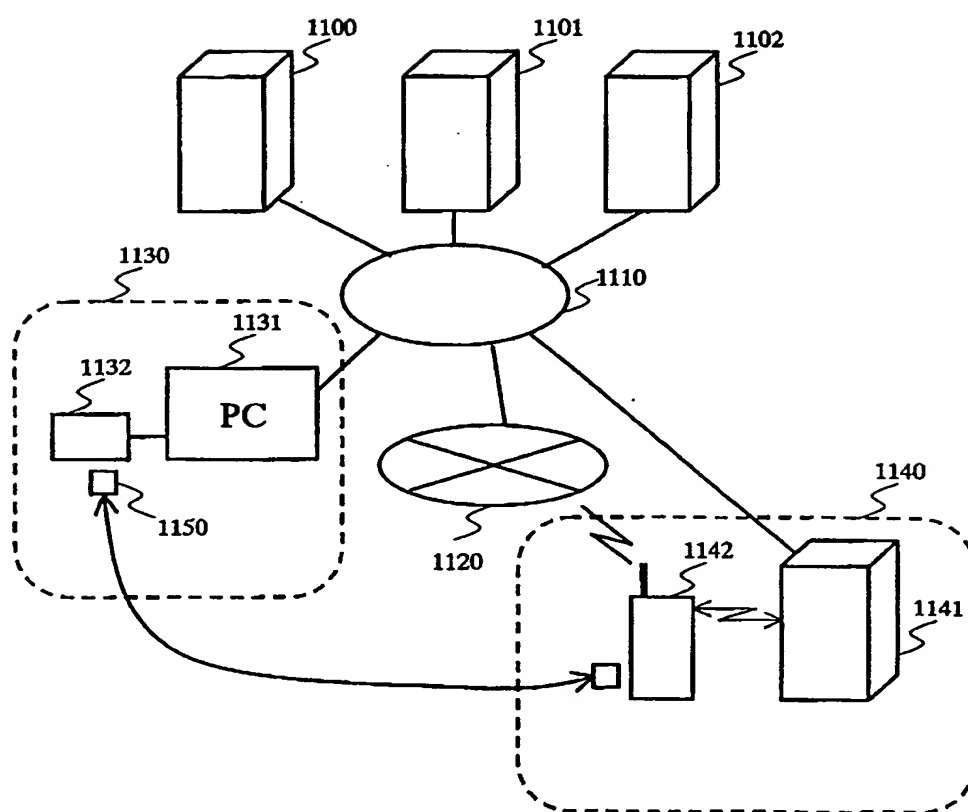


Fig. 23A PRIOR ART

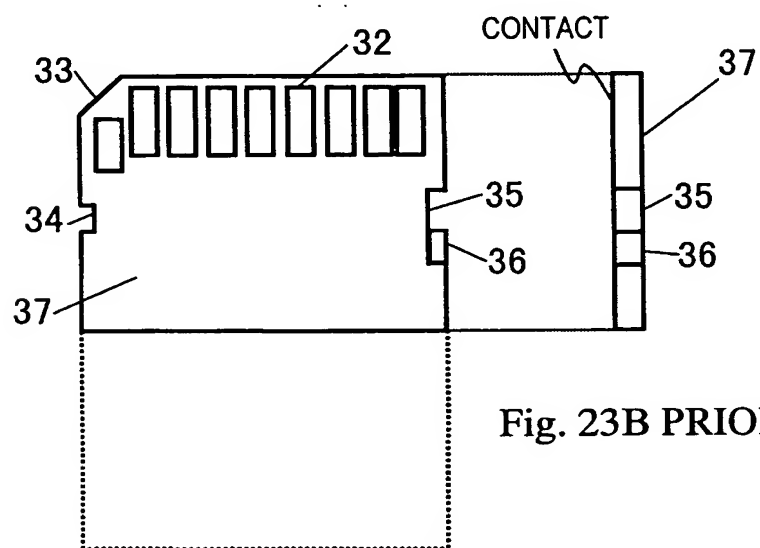
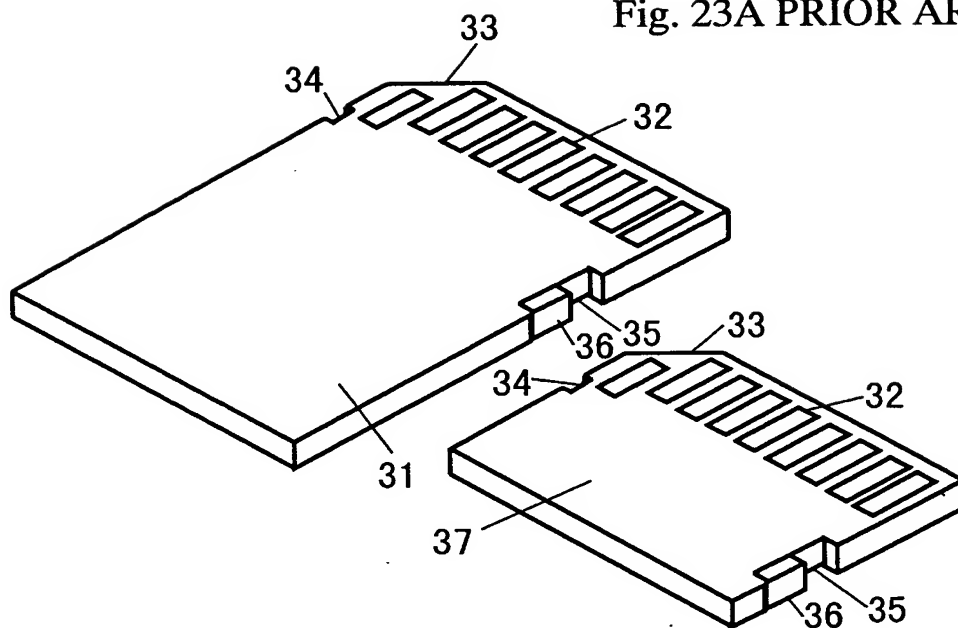


Fig. 23B PRIOR ART